

京都大学工学部 正会員 末石 雷太郎
 同上 佐友 恒
 同上 学生会員 横山 繁樹

1. はじめに

筆者らは、これまで、沈殿池内に存在する短絡流の効果によって流入原水の水質変動が緩衝作用をうけるという点に注目し、その原因となる短絡流と周辺流との間の水量・水質交換に関する研究をすすめてきた⁽¹⁾。今回は、その成果をふまえた上で、さらに、運動方程式を導入し、短絡流の挙動とその安定性に関する研究の第一歩を踏み出した⁽²⁾。結果の一部をここに報告する。

2. 理論の考察

水流に関する運動、連続、質の連続の式は、つぎのとおりである。ここで、各添字のうち m は短絡流、 d は周辺流を示すものとし、 A は断面積、 U は平均流速、 C は水質、 ρ は密度、 v は沈降速度、 β_{in} は周辺流から短絡流への、 β_{ou} は短絡流から周辺流への単位断面単位時間当りの流量、 f は短絡流の単位断面積当りに作用する抗力、 h は水深である。 f_0 は短絡流の原因力（厳密には問題が残る）。

$$\frac{\partial}{\partial t}(A_m U_m) + \frac{\partial}{\partial x}(A_m U_m^2) = \frac{f_0 \cdot A_m}{\rho} - \frac{f \cdot A_m}{\rho}$$

$$\frac{\partial A_m}{\partial t} + \frac{\partial}{\partial x}(A_m U_m) = h(\beta_{in} - \beta_{ou})$$

$$\frac{\partial}{\partial t}(C_m A_m) + \frac{\partial}{\partial x}(C_m A_m U_m) = h(C_d \beta_{in} - C_m \beta_{ou}) - v \frac{\partial}{\partial z}(C_m A_m)$$

$$\frac{\partial}{\partial t}(C_d A_d) + \frac{\partial}{\partial x}(C_d A_d U_d) = h(C_m \beta_{ou} - C_d \beta_{in}) - v \frac{\partial}{\partial z}(C_d A_d)$$

以上の式を解くに当り、2. 沈殿の項がネグれる場合には、つぎのようになる。

$$\frac{dU_m}{dt} = \frac{f_0}{\rho} - \frac{f}{\rho} - \frac{U_m h(\beta_{in} - \beta_{ou})}{A_m} \quad \frac{dC_m}{dt} = \frac{\beta_{in}(C_d - C_m)}{A_m} \quad \frac{dC_d}{dt} = \frac{\beta_{ou}(C_m - C_d)}{A_d}$$

以上の関係に基づいて短絡流内外における水質変化を数値計算により、2 追跡できる。そのとき、つぎの仮定を設ける。(1) $\beta_{in} = k \cdot |U_m|$ $\beta_{ou} = k' \cdot |U_d|$ (2) $f = k'' \cdot U_m$ (3) $f_0 = 0$

(1)については、これまでの成果より交換量は近似的に流下方向平均流速に比例するものと考え、二次元流としての取扱への過渡段階としては、一応近似的に現象を捉えるには可能である。(2)については、開水路において底面の影響による抗力の項が、層流の場合、 $\tau_0/\rho g R = (3/4) \mu / \rho R^2 \cdot U_m$ (R : 径深、 μ : 水の動粘性係数、 g : 重力の加速度) と表わることから、近似的に $f = k'' \cdot U_m$ とおく。

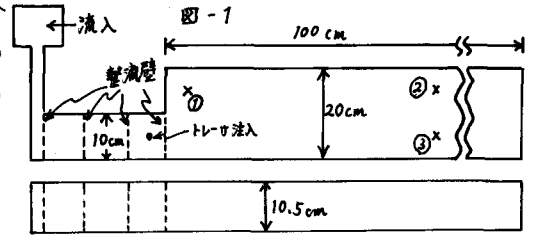
以上、三つの大きな仮定を含むが、沈殿池内短絡流の挙動を近似的に捉えることが出来る。

3. 実験条件

図-1 に示す塩ビ製沈殿池模型を用い、人為的に短絡流を発生させる。流入速度は一定に保ち、トレーサー (NaCl) 濃度を電極を用いて実測し、これを自動記録する。

4. 実験結果

図-2,3は、 k 又は k' とそれぞれ一定とした場合の
 実測値①における理論値と実測値を例示したもので
 である。(流入速度は1600 $\frac{m}{分}$ 、(18 $\frac{cm}{分}$)である。)
 ここにみられる傾向として、 k を一定とした場合、
 k の増加によ、理論濃度曲線が上早する一方、 k'
 を一定とした場合も k の増加によ、濃度曲線は上
 早する。図-4,5は、実際の短絡流
 形状と計算上の短絡流形状とを示すも
 のである。ここでわかるように、 k
 値の微小の変化によ、特に下流で
 の大きな変化がみられる。



以上の結果から、結論的に次の二
 点がいえる。

(1) 沈殿池の底面の抵抗が大きくな
 り、あるいは、風の影響など
 で抵抗が大きくなると周辺流への影
 響が大きくなることを示している。
 今後、実験によ、さらに精度を
 向上させてゆかねばならない。

(2) 流入口から30~40cmのとこ
 ろでみられる、循環流として逆流す
 るものと下流へ流れていくものとの
 境界部分の取扱が困難なため、実測
 値②、③の実測値と理論値は、あま
 りよく一致しない。しかし逆に、循
 環流を生じる部分と生じない部分と
 の間における k と k' の間の相関の違
 いを追究することから、今後、安定
 性の問題を把えることができると考
 えるに至った。

(参考文獻)

- (1) 佐友恒, 末石富太郎: 短絡流による沈殿処理
 能の弾力性について, 工学会第6回衛生
 工学研究討論会講演論文集, 1970年.
- (2) 横山繁樹: 沈殿池短絡流の安定性に関する
 基礎的研究, 京都大学工学部 45年度卒業
 論文
- (3) 岩垣雄一: 開水路の基礎方程式について,
 工学会誌 39-10 (昭和29-10)

